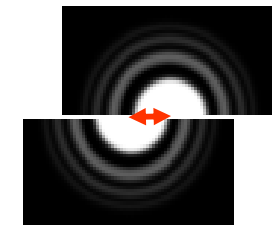
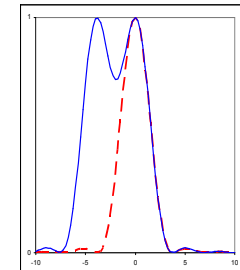


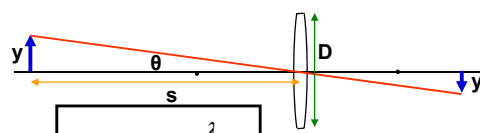
Oppsummering FA, mai 2015:

Avbildning	F1
Sampling og kvantisering	F2
Geometriske operasjoner	F3
Filtrering i bildedomenet	F6, F7
Morfologiske operasjoner	F13
Farger og fargerom	F14

- To punkt-kilder kan adskilles hvis de ligger slik at sentrum i det ene diffraksjonsmønstret faller sammen med den første mørke ringen i det andre.
 - Vinkelen mellom dem er da gitt ved $\sin \theta = 1.22 \lambda / D$ radianer.
 - Dette er "Rayleigh-kriteriet".
 - *Vi kan ikke se detaljer som er mindre enn dette.*



Hvor små detaljer kan en linse opp løse?



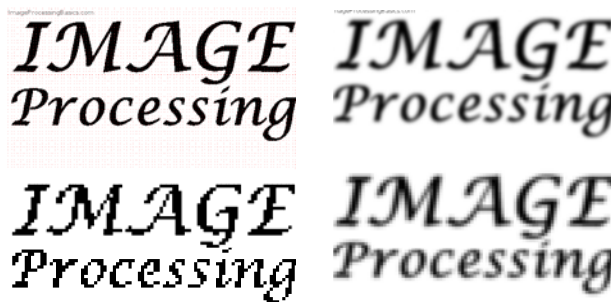
- Vinkeloppløsningen er gitt ved $\sin \theta = 1.22 \frac{\lambda}{D}$
- Tangens til vinkelen θ er gitt ved $\tan(\theta) = \frac{y}{s}$
- For små vinkler er $\sin(\theta) = \tan(\theta) = \theta$, når vinkelen θ er gitt i radianer.
- => Den minste detaljen vi kan opp løse: $\frac{y}{s} = 1.22 \frac{\lambda}{D} \Rightarrow y = 1.22 \frac{s\lambda}{D}$

Samplingsteoremet (Shannon/Nyquist)

- Anta at det kontinuerlige bildet er båndbegrenset, dvs. det inneholder ikke høyere frekvenser enn f_{max}
- Det kontinuerlige bildet kan rekonstrueres fra det digitale bildet dersom samplingsraten $f_s = 1/T_s$ er større enn $2 f_{max}$ (altså $T_s < \frac{1}{2} T_0$)
- $2 f_{max}$ kalles Nyquist-raten
- I praksis oversampler vi med en viss faktor for å kunne få god rekonstruksjon

Anti-aliasing

- Ved *anti-aliasing* fjerner/demper vi de høyere frekvensene i bildet før vi sampler



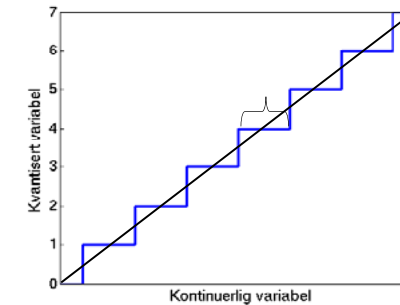
F15 18.05.15

INF2310

5 / 40

Kvantisering

- Hvert piksel lagres vha. n biter
- Pikselet kan da inneholde heltallsverdier fra 0 til $2^n - 1$
- Eks 3 biter:



F15 18.05.15

INF2310

6 / 40

Kvantiseringsfeil

- Kvantiseringsfeil
 - Summen av hver piksels avrundingsfeil
 - Kan velge intervaller og tilhørende rekonstruksjonsintensiteter for å minimere denne => Ikke nødvendigvis uniform fordeling
- Sentrale stikkord:
 - Lagringsplass
 - Behov for presisjon/akseptabelt informasjonstap
 - Hardware-kompleksitet, eller fysiske begrensninger
- Merk: Fremvisning og videre analyse av det kvantiserte bildet kan stille ulike krav til presisjon

F15 18.05.15

INF2310

7 / 40

Geometriske operasjoner

- Endrer på pikslenes posisjoner
- Første steg i denne prosessen:
 - Transformer pikselkoordinatene (x, y) til (x', y') :
$$x' = T_x(x, y)$$
$$y' = T_y(x, y)$$
 - T_x og T_y er ofte gitt som polynomer.
- Siden pikselkoordinatene må være heltall, må vi deretter bruke interpolasjon til å finne pikselverdien (gråtonen) i den nye posisjonen.

F15 18.05.15

INF2310

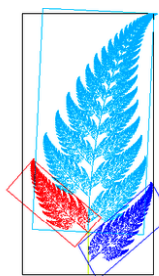
8 / 40

Affine transformer

- Transformerer pikselkoordinatene (x,y) til (x',y') :

$$x' = T_x(x,y)$$

$$y' = T_y(x,y)$$



- Affine transformasjon beskrives ved:

$$x' = a_0x + a_1y + a_2$$

$$y' = b_0x + b_1y + b_2$$

- På matriseform:

$$\begin{bmatrix} x' \\ y' \\ 1 \end{bmatrix} = \begin{bmatrix} a_0 & a_1 & a_2 \\ b_0 & b_1 & b_2 \\ 0 & 0 & 1 \end{bmatrix} \begin{bmatrix} x \\ y \\ 1 \end{bmatrix} \text{ eller } \begin{bmatrix} x' \\ y' \\ 1 \end{bmatrix} = \begin{bmatrix} a_0 & a_1 \\ b_0 & b_1 \end{bmatrix} \begin{bmatrix} x \\ y \end{bmatrix} + \begin{bmatrix} a_2 \\ b_2 \end{bmatrix}$$

F15 18.05.15

INF2310

9 / 40

Eksempler på enkle transformer - I

Transformasjon	a_0	a_1	a_2	b_0	b_1	b_2	Uttrykk
Identitet	1	0	0	0	1	0	$x' = x$ $y' = y$
Skalering	s_1	0	0	0	s_2	0	$x' = s_1x$ $y' = s_2y$
Rotasjon	$\cos\theta$	$-\sin\theta$	0	$\sin\theta$	$\cos\theta$	0	$x' = x\cos\theta - y\sin\theta$ $y' = x\sin\theta + y\cos\theta$



$$\begin{bmatrix} x' \\ y' \\ 1 \end{bmatrix} = \begin{bmatrix} a_0 & a_1 & a_2 \\ b_0 & b_1 & b_2 \\ 0 & 0 & 1 \end{bmatrix} \begin{bmatrix} x \\ y \\ 1 \end{bmatrix}$$

F15 18.05.15

INF2310

10 / 40

Eksempler på enkle transformer - II

Transformasjon	a_0	a_1	a_2	b_0	b_1	b_2	Uttrykk
Translasjon	1	0	Δx	0	1	Δy	$x' = x + \Delta x$ $y' = y + \Delta y$
Horisontal "shear" med faktor s_1	1	s_1	0	0	1	0	$x' = x + s_1y$ $y' = y$
Vertikal "shear" med faktor s_2	1	0	0	s_2	1	0	$x' = x$ $y' = s_2x + y$



$$\begin{bmatrix} x' \\ y' \\ 1 \end{bmatrix} = \begin{bmatrix} a_0 & a_1 & a_2 \\ b_0 & b_1 & b_2 \\ 0 & 0 & 1 \end{bmatrix} \begin{bmatrix} x \\ y \\ 1 \end{bmatrix}$$

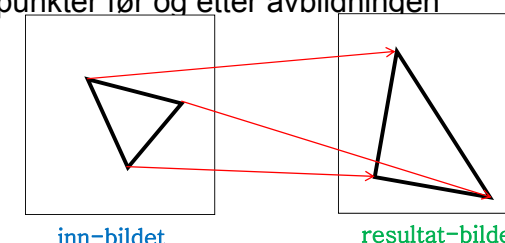
F15 18.05.15

INF2310

11 / 40

Alternativ måte å finne transformkoeffisientene

- En affin transform kan bestemmes ved å spesifisere tre punkter før og etter avbildningen



- Med disse tre punktparene kan vi finne de 6 koeffisientene; $a_0, a_1, a_2, b_0, b_1, b_2$

- Med flere enn 3 punktpar velger man den transformasjonen som minimerer (kvadrat-)feilen sumert over alle punktene.

F15 18.05.15

INF2310

12 / 40

Forlengs-mapping

```
for all x',y' do g(x',y') = 0  
a0 = cos θ  
a1 = -sin θ  
b0 = sin θ  
b1 = cos θ  
  
for all x,y do  
x' = round(a0x+a1y)  
y' = round(b0x+b1y)  
if (x',y') inside g  
g(x',y') = f(x,y)  
end
```

Eksempel:
Enkel rotasjon ved transformen:

$$\begin{bmatrix} x' \\ y' \\ 1 \end{bmatrix} = \begin{bmatrix} \cos \theta & -\sin \theta & 0 \\ \sin \theta & \cos \theta & 0 \\ 0 & 0 & 1 \end{bmatrix} \begin{bmatrix} x \\ y \\ 1 \end{bmatrix}$$

Flytter de posisjonstransformerte pikselposisjonene til nærmeste pikselposisjon i utbildet.

Skriver innbildets $f(x,y)$ inn i $g(x',y')$

F15 18.05.15

INF2310

13 / 40

Baklengs-mapping

```
a0 = cos (-θ)  
a1 = -sin (-θ)  
b0 = sin (-θ)  
b1 = cos (-θ)  
  
for alle x',y' do  
x = round(a0x+a1y)  
y = round(b0x+b1y)  
if (x,y) inside f  
g(x',y') = f(x,y)  
else  
g(x',y')=0  
end
```

Samme eksempel som ved forlengs-mappingen.

NB: (x,y) rotert med $θ$ ga (x',y')
 (x',y') rotert med $-θ$ gir (x,y)

Resample bildet.
Her; for hvert utbilde-piksel,
invers-transformér,
og velg verdien til nærmeste piksel
fra innbildet.

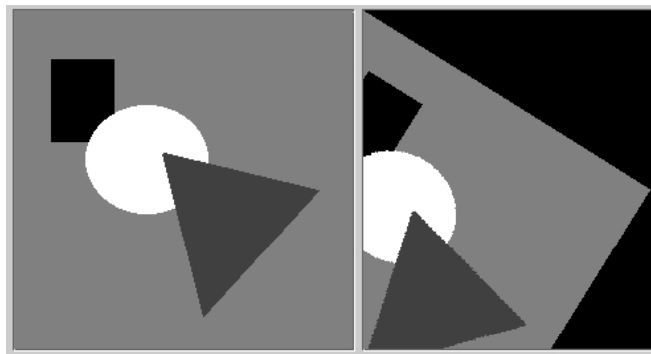
For hver pikselposisjon i ut-bildet:
Hent pikselverdi fra innbildet.

F15 18.05.15

INF2310

14 / 40

Baklengs-mapping, forts.



F15 18.05.15

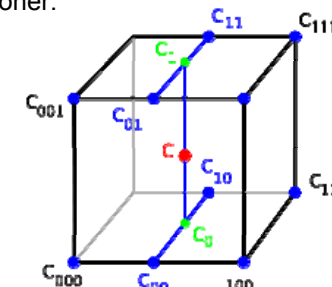
INF2310

15 / 40

Trilineær interpolasjon

□ Utvidelsen fra 2D til 3D kalles *trilineær* interpolasjon, og er en lineær interpolasjon mellom resultatene av to bilineære interpolasjoner.

□ **Resultatet er uavhengig av rekkefølgen.**



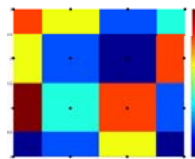
F15 18.05.15

INF2310

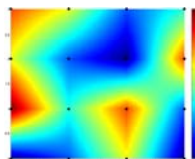
16 / 40

Interpolasjon – en sammenligning

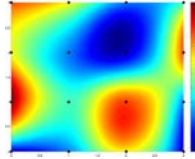
- ❑ Nærmeste nabo gir 2D trappefunksjon.
Diskontinuitet midt mellom punktene.



- ❑ Bi-lineær interpolasjon bruker 4 piksler.
Derivert blir ikke kontinuerlig over bilde-flaten.



- ❑ Bi-kubisk interpolasjon gir glattere flater.
Er mer regnekrevende: $4 \times 4 = 16$ piksler.



F15 18.05.15

INF2310

17 / 40

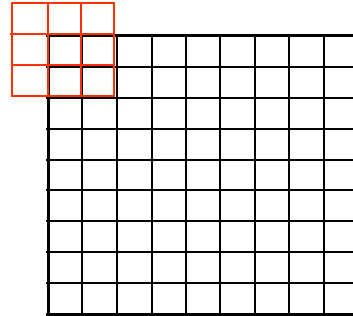
Praktiske problemer

- ❑ Kan ut-bildet ha samme piksel-representasjon som inn-bildet?

- ❑ Trenger vi et mellom-lager?

- ❑ Hva gjør vi langs bilde-randen?

- ❑ Anta at bildet er $M \times N$ piksler



- ❑ Anta at filteret er $m \times n$

$$(m=2m_2+1, n=2n_2+1)$$

- ❑ Uberørt av rand-effekt:

$$(M-m+1) \times (N-n+1)$$

$$3 \times 3: (M-2) \times (N-2)$$

$$5 \times 5: (M-4) \times (N-4)$$

F15 18.05.15

INF2310

19 / 40

Utrengning av 2-D konvolusjon

$$g(x, y) = \sum_{j=x-w_1}^{x+w_1} \sum_{k=y-w_2}^{y+w_2} h(x-j, y-k) f(j, k)$$

- ❑ For å regne ut resultatet av en konvolusjon for posisjon (x,y) :
 - Roter konvolusjonsfilteret 180 grader
 - Legg filteret over bildet slik at origo overlapper posisjon (x,y) i bildet.
 - Multipliser hver vekt i filteret med underliggende pikselverdi.
 - Summen av produktene gir verdien for $g(x,y)$ i posisjon (x,y) .
- ❑ For å regne ut resultatet for alle posisjoner:
Flytt filteret piksel for piksel og gjenta operasjonene over.
- ❑ Vi bruker notasjonen $g = h * f$

F15 18.05.15

INF2310

18 / 40

Hva gjør vi langs randen?

Alternativer:

1. Sett $g(x,y)=0$
2. Sett $g(x,y)=f(x,y)$
3. Trunker ut-bildet
4. Trunker konvolusjons-masken h
5. Utvid bildet ved "reflected indexing"
6. "Circular indexing"

F15 18.05.15

INF2310

F15 18.05.15

INF2310

20 / 40

Et lite tips om konvolusjon

- Når vi konvollerer et filter med et bilde:
 - Er vi interessert i å lage et nytt bilde med samme størrelse som input-bildet.
 - Vi bruker en av teknikkene fra forrige foil.
- Når vi konvollerer en filter-kjerne med en annen filter-kjerne:
 - Vi vil lage effektiv implementasjon av et stort filter ved å kombinere enkle, separable filtre.
 - Vi beregner resultatet for alle posisjoner der de to filter-kjernene gir overlapp.

F15 18.05.15

INF2310

21 / 40

Lavpass-filtre

- Slipper gjennom lave frekvenser, og demper eller fjerner høye frekvenner.
 - Høye frekvenser = skarpe kanter, støy, detaljer.
- Effekt: "blurring" eller utsmøring av bildet
- Utfordring: bevare kanter samtidig som homogene områder glattes.

F15 18.05.15

INF2310

23 / 40

Egenskaper ved konvolusjon

- Kommutativ
 $f^*g = g^*f$
- Assosiativ
 $(f^*g)^*h = f^*(g^*h)$
- Distributiv
 $f^*(g+h) = (f^*g) + (f^*h)$
- Assosiativ ved skalar multiplikasjon
 $a(f^*g) = (af)^*g = f^*(ag)$
- Kan utnyttes i sammensatte konvolusjoner !

F15 18.05.15

INF2310

22 / 40

Ikke-uniformt lavpass-filter

- Uniforme lavpass-filtre kan implementeres raskt.
- Ikke-uniforme filtre, for eksempel:
 - 2D Gauss-filter:
$$h(x, y) = \exp\left(-\frac{(x^2 + y^2)}{2\sigma^2}\right)$$
 - Parameter σ er standard-avviket(bredden)
 - Filterstørrelse må tilpasses σ

F15 18.05.15

INF2310

24 / 40

Rang-filtrering

- ❑ Vi lager en en-dimensjonal liste av alle piksel-verdiene innenfor vinduet.
- ❑ Vi sorterer listen i stigende rekkefølge.
- ❑ Responsen i (x,y) er pikselverdien i en bestemt posisjon i listen, eller en veiet sum av en bestemt del av listen.
- ❑ Dette er ikke-lineære filtre.

F15 18.05.15

INF2310

25 / 40

Median-filter

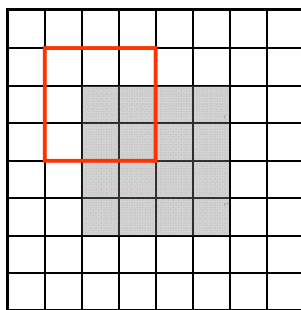
- ❑ $g(x,y) = \text{median}$ av verdiene i et vindu rundt inn-pikslet.
- ❑ Median = den midterste verdien i sortert liste.
- ❑ Vindu: kvadrat, rektangel, pluss.
- ❑ Rask implementasjon kan gjøres vha. histogram, med histogramoppdatering etter hvert som vinduet flyttes.
- ❑ Et av de mest brukte kant-bevarende støy-filtre.
- ❑ Spesielt godt til å fjerne impuls-støy ("salt og pepper")
- ❑ Problemer:
 - Tynne kanter kan forsvinne
 - Hjørner kan rundes av
 - Objekter kan bli litt mindre
- ❑ Valg av vindus-størrelse og form er viktig!

F15 18.05.15

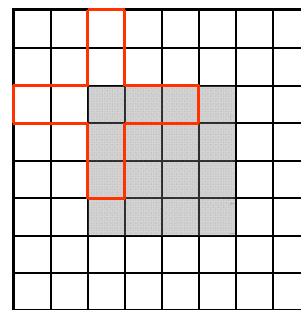
INF2310

26 / 40

Median og hjørner



Med kvadratisk vindu
rundes hjørnet av



Med "pluss"-vindu
bevares hjørnet

F15 18.05.15

INF2310

27 / 40

Høypass-filtre

- ❑ Slipper gjennom høye frekvenser.
- ❑ Demper eller fjerner lav-frekvente variasjoner.
- ❑ Effekt:
 - Fjerner langsomt varierende bakgrunn
 - Framheve kanter, linjer og skarpe detaljer.

F15 18.05.15

INF2310

28 / 40

Høypass-filtre

- Et høypass-filter må ha positive vekter i midten, og negative vekter lenger ut.

$$\begin{bmatrix} -1 & -1 & -1 \\ -1 & 8 & -1 \\ -1 & -1 & -1 \end{bmatrix}$$

- Vi lar summen av vektene være null
- Hvis vi lar middelverdien av ut-bildet bli null, må noen deler av ut-bildet være <0 .
- Det er ingen god ide å benytte $|g(x,y)|$.
- For framvisning, skaler $g(x,y)$ og legg til en konstant slik at vi får positive pikselverdier.

F15 18.05.15

INF2310

29 / 40

Gradient-operatorer

- Asymmetrisk 1D-operator:

$$h_x(i, j) = \begin{bmatrix} 0 & 1 & 0 \\ 0 & -1 & 0 \\ 0 & 0 & 0 \end{bmatrix} \quad h_y(i, j) = \begin{bmatrix} 0 & 0 & 0 \\ 1 & -1 & 0 \\ 0 & 0 & 0 \end{bmatrix}$$

PS: Vi angir konvolusjonsfiltre i den hensikt at de skal brukes til konvolusjon.
G&W angir filtermasker som skal brukes til korrelasjon.
Filtrene vil derfor avvike med en 180 graders rotasjon.

- Symmetrisk 1D-operator:

$$h_x(i, j) = \begin{bmatrix} 0 & 1 & 0 \\ 0 & 0 & 0 \\ 0 & -1 & 0 \end{bmatrix} \quad h_y(i, j) = \begin{bmatrix} 0 & 0 & 0 \\ 1 & 0 & -1 \\ 0 & 0 & 0 \end{bmatrix}$$

- Roberts-operatoren (også kalt Roberts kryssgradient-operator):

$$h_x(i, j) = \begin{bmatrix} 1 & 0 & 0 \\ 0 & -1 & 0 \\ 0 & 0 & 0 \end{bmatrix} \quad h_y(i, j) = \begin{bmatrix} 0 & 1 & 0 \\ -1 & 0 & 0 \\ 0 & 0 & 0 \end{bmatrix}$$

30 / 40

Gradient-operatorer

- Prewitt-operatoren:

$$h_x(i, j) = \begin{bmatrix} 1 & 1 & 1 \\ 0 & 0 & 0 \\ -1 & -1 & -1 \end{bmatrix} \quad h_y(i, j) = \begin{bmatrix} 1 & 0 & -1 \\ 1 & 0 & -1 \\ 1 & 0 & -1 \end{bmatrix}$$

PS: Vi angir konvolusjonsfiltre i den hensikt at de skal brukes til konvolusjon.

G&W angir filtermasker som skal brukes til korrelasjon.

Filtrene vil derfor avvike med en 180 graders rotasjon.

- Sobel-operatoren:

$$h_x(i, j) = \begin{bmatrix} 1 & 2 & 1 \\ 0 & 0 & 0 \\ -1 & -2 & -1 \end{bmatrix} \quad h_y(i, j) = \begin{bmatrix} 1 & 0 & -1 \\ 2 & 0 & -2 \\ 1 & 0 & -1 \end{bmatrix}$$

- Frei-Chen-operatoren:

$$h_x(i, j) = \begin{bmatrix} 1 & \sqrt{2} & 1 \\ 0 & 0 & 0 \\ -1 & -\sqrt{2} & -1 \end{bmatrix} \quad h_y(i, j) = \begin{bmatrix} 1 & 0 & -1 \\ \sqrt{2} & 0 & -\sqrt{2} \\ 1 & 0 & -1 \end{bmatrix}$$

F15 18.05.15

INF2310

31 / 40

g_x , g_y og gradient-magnituden, G

- Vi finner de horisontale kantene:

- Beregn $g_x(x, y) = h_x * f(x, y)$

- Vi finner de vertikale kantene:

- Beregn $g_y(x, y) = h_y * f(x, y)$

- Beregn gradient-magnitude og retning:

$$G(x, y) = \sqrt{g_x^2(x, y) + g_y^2(x, y)}$$

Gradient-magnitude

$$\theta(x, y) = \tan^{-1} \left(\frac{g_y(x, y)}{g_x(x, y)} \right)$$

Gradient retning

F15 18.05.15

INF2310

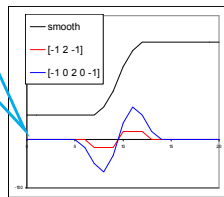
32 / 40

Laplace-operatoren

- Laplace-operatoren er gitt ved:

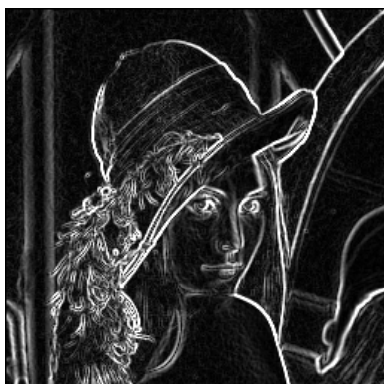
$$\nabla^2(f(x, y)) = \frac{\partial^2 f}{\partial x^2} + \frac{\partial^2 f}{\partial y^2}$$

Den endrer fortegn der $f(x, y)$ har et vendepunkt.
 $|\nabla^2 f|$ har to ekstremverdier per kant
 $\nabla^2 f = 0$ markerer kant-posisjon.



- Kantens eksakte posisjon er nullgjennomgangen.
- Dette gir ikke brede kanter.
- Vi finner bare magnitude, ikke retning.

Laplace vs. Sobel



Sobel-filtrert
=> bred kant



Laplace-filtrert
=> dobbelt-kant

Flere Laplace-operatorer

- Merk at Laplace-operatorene kan uttrykkes som senter-verdi minus et (veiet) middel over et lokalt naboskap.

□ 1D $\nabla^2 f(i) = -f(i-1, j) + 2f(i, j) - f(i+1, j) = 3f(i) - \sum_{j=i-1}^{i+1} f(j)$

□ 2D "pluss" $\begin{bmatrix} 0 & -1 & 0 \\ -1 & 4 & -1 \\ 0 & -1 & 0 \end{bmatrix} = \begin{bmatrix} 0 & 0 & 0 \\ 0 & 5 & 0 \\ 0 & 0 & 0 \end{bmatrix} - \begin{bmatrix} 0 & 1 & 0 \\ 1 & 1 & 1 \\ 0 & 1 & 0 \end{bmatrix}$

□ 2D "kvadrat" $\begin{bmatrix} -1 & -1 & -1 \\ -1 & 8 & -1 \\ -1 & -1 & -1 \end{bmatrix} = \begin{bmatrix} 0 & 0 & 0 \\ 0 & 9 & 0 \\ 0 & 0 & 0 \end{bmatrix} - \begin{bmatrix} 1 & 1 & 1 \\ 1 & 1 & 1 \\ 1 & 1 & 1 \end{bmatrix}$

Fra Laplace til LoG

- Vi gjorde gradient-operatorene støy-robuste ved å bygge inn en lavpassfiltrering.

Eksempel: Sobel-operator

$$h_x = \begin{bmatrix} 1 & 0 & -1 \\ 2 & 0 & -2 \\ 1 & 0 & -1 \end{bmatrix} = [1 \ 0 \ -1] * \begin{bmatrix} 1 \\ 2 \\ 1 \end{bmatrix}, h_y = \begin{bmatrix} -1 & -2 & -1 \\ 0 & 0 & 0 \\ 1 & 2 & 1 \end{bmatrix} = \begin{bmatrix} -1 \\ 0 \\ 1 \end{bmatrix} * [1 \ 2 \ 1]$$

- Vi kan gjøre det samme med Laplace-operatoren

- Vi bruker et Gauss-filter G

$$\nabla^2 * (f * G) = (\nabla^2 * G) * f = LoG * f$$

- Der LoG er resultatet av å anvende Laplace-operatoren på en Gauss-funksjon.

Cannys algoritme

1. Lavpassfiltrer med Gauss-filter (med gitt σ).
2. Finn gradient-magnituden og gradient-retningen.
3. Tynning av gradient-magnitude ortogonalt på kant.
 - F.eks.: Hvis en piksel i gradient-magnitude-bildet har en 8-nabo i ellers mot gradient-retningen med høyere verdi, så settes pikselverdien til 0.
4. Hysterese-terskling (to terskler, T_h og T_l):
 - a. Merk alle piksler der $g(x,y) \geq T_h$
 - b. For alle piksler der $g(x,y) \in [T_l, T_h]$:
 - Hvis (4 eller 8)-nabo til en merket piksel, så merkes denne pikselen også.
 - c. Gjenta fra trinn b til konvergens.

F15 18.05.15

INF2310

37 / 40

Anvendelse av erosjon: Kantdeteksjon

- ❑ Eroding fjerner piksler langs omrisset av et objekt.
- ❑ Vi kan finne kantene av objektene i bildet ved å subtrahere et erodert bilde fra originalbildet: $g = f - (f \circledast S)$
- ❑ Det benyttede strukturelementet avgjør kantens tilkoblingstype:

Et bilde	erodert med	gir	=>	differanse
000000000000	000000000000	001111011100		
010	001111011100	010000100100		
111	011000111110	100101000011		
001111101110	010	010010000010		
011111111110	000001110000	011110001110		
111101111111	000000000000	000000111100		
011111111111	000000000000	001111011100		
011111111110	111	001000111000		
000000111000	111	010000111100		
	111	010000111100		
	111	001111111100		
	000000010000	011111011100		
	000000000000	000000111100		

F15 18.05.15

INF2310

39 / 40

Erosjon: Passer strukturelementet til det binære bildet?

- ❑ Vi flytter strukturelementet rundt over et binært bilde.
- ❑ Strukturelementet **passer** i posisjonen (x,y) i bildet hvis alle elementer $\neq 0$ i strukturelementet overlapper en pikselverdi $\neq 0$ i bildet.
- ❑ I denne sammenhengen vil vi alltid:
 - Ignorere pikselverdier som overlapper 0 i strukturelementet.
 - markerer jo «ikke er med i naboskapet».
 - Anta at piksler utenfor bildet er 0.

Et bilde

00000000000000	00000000000000	00000000000000
00011111000000	00011111000000	00011111000000
00011111000000	00011111000000	00011111000000
00011111000000	00011111000000	00011111000000
00000000000000	00000000000000	00000000000000

To forskjellige strukturelementer

00000000000000	00000000000000	00000000000000
00110000000000	00110000000000	00110000000000
00110000000000	00110000000000	00110000000000
00110000000000	00110000000000	00110000000000
00000000000000	00000000000000	00000000000000

To forskjellige resultater

F15 18.05.15

INF2310

38 / 40

Dilasjon: Treffer strukturelementet det binære bildet?

- ❑ Vi flytter strukturelementet rundt over et binært bilde.
- ❑ Strukturelementet **treffer** i posisjonen (x,y) i bildet hvis et element $\neq 0$ i strukturelementet overlapper en pikselverdi $\neq 0$ i bildet.
- ❑ Her reflekterer vi (roterer 180°) strukturelementet før vi flytter det rundt.

Et bilde

00000000000000	00000000000000	00000000000000
01111111000000	01111111000000	01111111000000
01111111000000	01111111000000	01111111000000
01111111000000	01111111000000	01111111000000
00000000000000	00000000000000	00000000000000

To forskjellige strukturelementer

00000000000000	00000000000000	00000000000000
01111111000000	01111111000000	01111111000000
01111111000000	01111111000000	01111111000000
01111111000000	01111111000000	01111111000000
00000000000000	00000000000000	00000000000000

To forskjellige resultater

Fortsatt vil vi:

- Ignorere pikselverdier som overlapper 0 i strukturelementet.
- Anta at piksler utenfor bildet er 0.

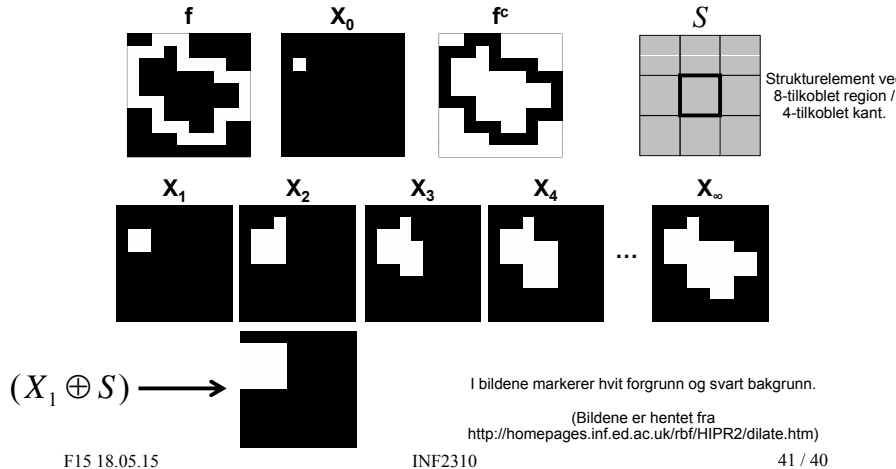
F15 18.05.15

INF2310

40 / 40

Anvendelse av dilasjon: Region-fylling

- La X_0 inneholde et punkt i regionen som skal fylles.
- Iterativt beregn $X_k = (X_{k-1} \oplus S) \cap f^c$ inntil konvergens:



Dualitet

- Dilasjon og erosjon er duale** med hensyn til komplementering og reflektering (180° rotasjon), dvs. at dilasjon og erosjon kan uttrykkes ved hverandre:

$$f \oplus S = (f^c \ominus \hat{S})^c$$

$$f \ominus S = (f^c \oplus \hat{S})^c$$

- For å dilatere f med symmetrisk S kan vi erodere komplementet til f med S , og ta komplementet av resultatet.
 - Tilsvarende for å erodere.
- => Dilasjon og erosjon kan utføres av samme prosedyre, forutsatt at vi kan rotere et strukturelement 180° og finne komplementet til et binært bilde.

F15 18.05.15 INF2310 42 / 40

et bilde	komplementet
0 0 0 0 0 0 0 0 0 0	1 1 1 1 1 1 1 1 1
0 0 0 0 0 0 0 0 0 0	1 1 1 1 1 1 1 1 1
0 0 1 1 0 0 1 1 0 0	1 1 0 0 1 1 0 0 1 1
0 0 0 1 1 1 0 0 1 0	1 1 1 0 0 1 1 1 0 1
0 0 0 0 1 0 0 1 0 0	1 1 1 1 0 1 1 0 1 1
0 0 0 0 0 1 0 1 0 0	1 1 1 1 1 0 1 0 1 1
0 0 0 0 0 0 0 0 0 0	1 1 1 1 1 1 1 1 1 1
0 0 0 0 0 0 0 0 0 0	1 1 1 1 1 1 1 1 1 1
dilatert med	erodert med
0 1 0	0 1 0
1 1 1	1 1 1
0 1 0	0 1 0
gir	gir
0 0 0 0 0 0 0 0 0 0	1 1 1 1 1 1 1 1 1 1
0 0 1 1 0 0 1 1 0 0	1 1 0 0 1 1 0 0 1 1
0 1 1 1 1 1 1 1 1 0	1 0 0 0 0 0 0 0 0 1
0 0 1 1 1 1 1 1 1 0	1 1 0 0 0 0 0 0 0 1
0 0 1 1 1 1 1 1 1 0	1 1 0 0 0 0 0 0 0 1
0 0 0 1 1 1 0 1 1 0	1 1 1 0 0 0 0 0 0 1
0 0 0 0 1 1 1 1 1 0	1 1 1 1 0 0 0 0 0 1
0 0 0 0 0 1 0 1 0 0	1 1 1 1 1 1 0 1 0 1 1
0 0 0 0 0 0 0 0 0 0	1 1 1 1 1 1 1 1 1 1

og disse bildene er komplementære.
De to matrisene til høyre er 1 utenfor randen.

Dilasjon: Andre egenskaper

- Dilasjon er kommutativ.**

$$f \oplus S = S \oplus f$$

- Selv om det er en konvensjon at første operatør er bildet og andre er strukturelementet, så har dette altså ingen betydning.

- Dilasjon er assosiativ.**

$$f \oplus (S_1 \oplus S_2) = (f \oplus S_1) \oplus S_2$$

- Hvis S kan dekomponeres, dvs. at S er S_1 dilatert med S_2 , kan vi spare en del regnetid, spesielt hvis S_1 og S_2 er én-dimensjonale.
- Eksempel:

$$\begin{bmatrix} 1 & 1 & 1 & 1 & 1 \\ 1 & 1 & 1 & 1 & 1 \\ 1 & 1 & 1 & 1 & 1 \\ 1 & 1 & 1 & 1 & 1 \end{bmatrix} = [1 \ 1 \ 1 \ 1 \ 1] \oplus \begin{bmatrix} 1 \\ 1 \\ 1 \\ 1 \end{bmatrix}$$

F15 18.05.15

INF2310

43 / 40

Erosjon: Andre egenskaper

- Erosjon er IKKE kommutativ:**

$$f \ominus S \neq S \ominus f$$

- Erosjon er heller IKKE assosiativ**, men suksessiv erosjon av bildet f med A og så med B er ekvivalent med erosjon av bildet f med A **dilatert** med B :

$$(f \ominus A) \ominus B = f \ominus (A \oplus B)$$

- Passer det med denne tidligere påstanden?
«Hvis s_2 er formlik s_1 , men dobbelt så stort, så er $f \ominus s_2 \approx (f \ominus s_1) \ominus s_1$ »

F15 18.05.15

INF2310

44 / 40

Åpning

- ❑ **Erosjon** av et bilde **fjerner** alle strukturer som ikke kan inneholde strukturelementet, og «**krymper**» alle andre strukturer.
- ❑ Hvis vi **dilaterer** resultatet av en erosjon med samme strukturelement, vil de strukturene som «**overlevde**» erosjonen bli omtrentlig **gjenskapt**.
- ❑ Dette er en **morfologisk åpning**:

$$f \circ S = (f \ominus S) \oplus S$$

- ❑ Navnet kommer av at operasjonen kan skape en åpning (et mellomrom) mellom to strukturer som bare henger sammen ved en tynn «bro», uten å krympe disse to strukturene i noen betydelig grad.
 - Bare erosjon kan også skape en slik åpning/mellomrom, men vil også krympe begge strukturene.

F15 18.05.15

INF2310

45 / 40

Lukking

- ❑ **Dilasjon** av et bilde **utvider** strukturer, **fyller i hull og innbukninger** i omrisset.
- ❑ Hvis vi **eroderer** resultatet av en dilasjon med samme strukturelement, vil strukturene **stort sett** få **gjenskapt** sin opprinnelige størrelse og form, men **hull og innbukninger** som ble fylt igjen ved dilasjonen vil **ikke gjenoppstå**.
- ❑ Dette er en **morfologisk lukking**:

$$f \bullet S = (f \oplus S) \ominus S$$

- ❑ Navnet kommer av at operasjonen kan lukke en åpning mellom to strukturer som bare er adskilt med et lite gap, uten at de to strukturene vokser i noen betydelig grad.
 - Bare dilasjon kan også lukke en slik åpning, men vil også forstørre begge strukturene.

F15 18.05.15

INF2310

46 / 40

Dualitet mellom åpning og lukking

- ❑ **Lukking** er en **dual** operasjon til **åpning** med hensyn til komplementering og reflektering (180° roting), og omvendt:
$$f \bullet S = (f^c \circ \hat{S})^c \quad f \circ S = (f^c \bullet \hat{S})^c$$
- ❑ Lukking kan utføres ved å komplementere bildet, åpne det med det speilvendte (180° rotete) strukturelementet, og ta komplementet av resultatet.
 - Tilsvarende for åpning.
- ❑ Vi kan altså utføre begge operasjonene med kode bare for den ene, hvis vi har kode for å speilvende og komplementere et binært bilde.
- ❑ **Lukking** er en **ekstensiv** transformasjon (pixsler legges til).
- ❑ **Åpning** er en **antiekstensiv** transformasjon (pixsler fjernes).

$$f \circ S \subseteq f \subseteq f \bullet S$$

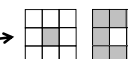
F15 18.05.15

INF2310

47 / 40

«Hit-or-miss»-transformasjonen

- ❑ Tilbake til den opprinnelige situasjonen: Bilde f og strukturelement S
- ❑ Men strukturelementet S er nå definert ved et par $[S_1, S_2]$ av binære strukturelementer som ikke har noen felles elementer.
- ❑ «Hit-or-miss»-transformasjonen av f med $S = [S_1, S_2]$ er definert som:
$$f(*)S = f(*)[S_1, S_2] = (f \ominus S_1) \cap (f^c \ominus S_2)$$
- ❑ En **forgrunns piksel** i ut-bildet **oppnås** kun hvis:
 - **S_1 passer forgrunnen** rundt pikselen **og**
 - **S_2 passer bakgrunnen** rundt pikselen.
- ❑ Kan brukes til å finne/behandle bestemte mønstre i et bilde, f.eks. til å:
 - Finne bestemte strukturer.
 - Fjerne enkeltpiksler.
 - Benyttet i "tynning" (om to slides).



F15 18.05.15

INF2310

48 / 40

Eksempel: «Hit-or-miss»

000000000000000000 001000000000000000 001000001111000000 0111000000001100 0010000000001110 00000010000000100 000000111000000000 000000100000000000 000000000000000000	Strukturelement S_1	000000000000000000 000000000000000000 000000000000000000 001000000000000000 000000000000000000 000000000000000000 000000000000000000 000000000000000000 000000000000000000
Et bilde A		Resultat etter erosjon med S_1
111111111111111111 110111111111111111 110111000011111111 100011111111110011 110111111111110011 11110111111111011 111100011111111111 111101111111111111 111111111111111111	Strukturelement S_2	101011111111111111 101010000000111111 00000111111100001 101010000000000000 0000010111100001 1010000011100000 1111010111110101 111000001111111111 111101011111111111
A^c - komplementet til bildet (er 1 utenfor randen)		A^c erodert med S_2
		«Hit-or-miss»-resultatet
		Logisk AND av de to delresultatene
		000000000000000000 000000000000000000 001000000000000000 000000000000000000 000000000000000000 000000000000000000 000000000000000000 000000000000000000 000000000000000000

F15 18.05.15

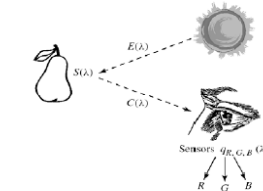
INF2310

49 / 40

Tre integraler gir RGB

- ☐ Lys fra en kilde med spektralfordeling $E(\lambda)$

- treffer et objekt med spektral refleksjonsfunksjon $S(\lambda)$.



- Reflektert lys detekteres av tre typer tapper med spektral lysfølsomhetsfunksjon $q_i(\lambda)$.

- ☐ Tre analoge signaler kommer ut av dette:

$$R = \int E(\lambda) S(\lambda) q_R(\lambda) d\lambda$$

$$G = \int E(\lambda) S(\lambda) q_G(\lambda) d\lambda$$

$$B = \int E(\lambda) S(\lambda) q_B(\lambda) d\lambda$$

F15 18.05.15

INF2310

50 / 40

Beskrivelse av farger

- ☐ En farge kan beskrives på forskjellige måter (fargerom)

- RGB
- HSI (Hue, Saturation, Intensity)
- CMY (Cyan, Magenta, Yellow)
- pluss mange flere

- ☐ HSI er viktig for hvordan vi beskriver og skiller farger.

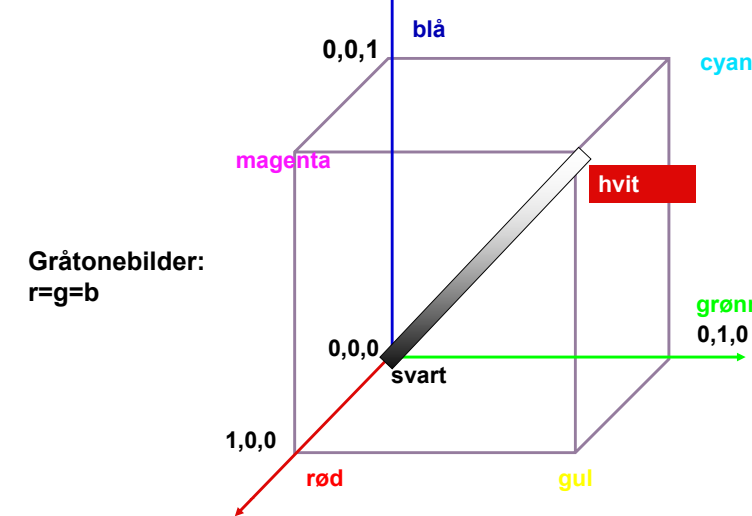
- I – Intensitet: hvor lys eller mørk er den
- S – saturation/metning: hvor "sterk" er fargen
- H – dominerende farge (bølgelengde)
- H og S beskriver sammen fargen og kalles kromatisitet

F15 18.05.15

INF2310

51 / 40

RGB-kuben



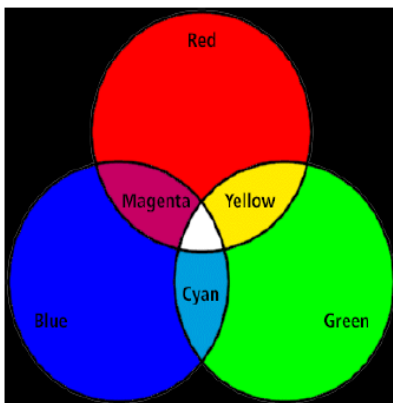
F15 18.05.15

INF2310

52 / 40

RGB og CMY

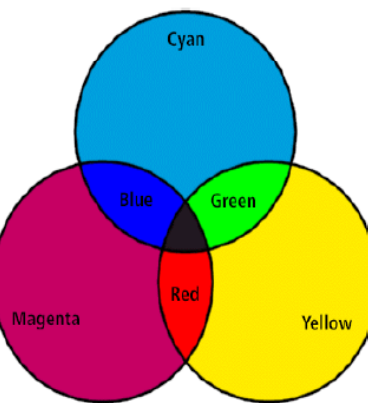
- RGB og CMY er i prinsippet sekundærfarger for hverandre.



F15 18.05.15

INF2310

53 / 40

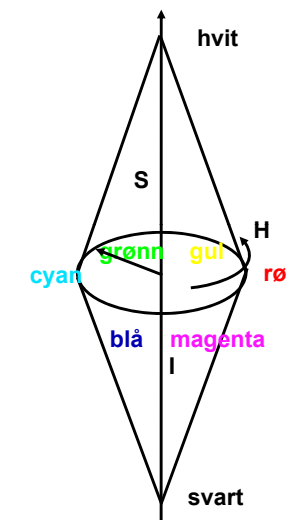


Hue, Saturation, Intensity (HSI)

- Hue: ren farge - gir bølgelengden i det elektromagnetiske spektrum.



- H er vinkel og ligger mellom 0 og 2π :
Rød: $H=0$, grønn: $H=2\pi/3$, blå: $4\pi/3$,
gul: $H=\pi/3$, cyan= π , magenta= $5\pi/3$



F15 18.05.15

INF2310

54 / 40

Fargebilder og fargetabeller

- RGB kan lagres med like mange biter for **r**, **g**, **b**, f.eks (8 + 8 + 8)
- Selv $3 + 3 + 3 = 9$ biter gir oss $8 \cdot 8 \cdot 8 = 512$ kombinasjoner, men bare 8 forskjellige nivåer av rødt, grønt og blått, og dermed også bare 8 forskjellige gråtoner.
- Et scene med mange nyanser av én farge vil da se ille ut ! Hvorfor? Jo fordi denne fargen bare får 8 forskjellige nyanser !
- Det er ikke sikkert at alle de 512 fargene finnes i bildet.
- Alternativt kan man bruke 8 biter og **fargetabeller**.
- Hver rad i tabellen beskriver en **r**, **g**, **b**-farge med 24 biter.
- Tabellen inneholder de 256 fargene som best beskriver bildet.
- I bilde-filen ligger pikselverdiene som tall mellom 0 og 255.
- Når vi skal vise bildet, slår vi bare opp i samme rad som pikselverdien, og finner de tilsvarende **r**, **g**, **b**-verdiene.

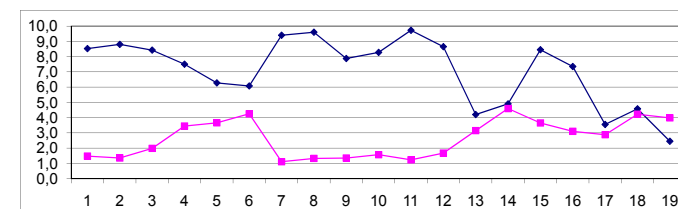
F15 18.05.15

INF2310

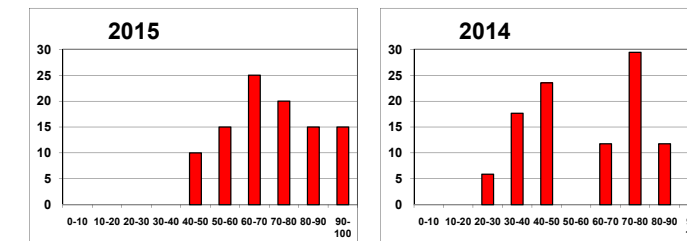
55 / 40

Midtveiseksamen

- Noen oppgaver var vanskeligere enn andre, (μ, σ) for del-oppgaver:



- Dette kullet gjorde det bra, normalisert histogram over normert poengsum:



F15 18.05.15

INF2310

56 / 40

Kontakt oss ...

- Hvis du lurer på noe i INF2310-pensum
- Hvis du tenker på flere kurs i digital bildeanalyse
- Hvis du tenker på å ta en Master-oppgave

Takk for følget, og lykke til med eksamen !!!